

## بورسی، ارزیابی و تعیین منشاء احتمالی هیدروکربن های آروماتیک چند حلقه ای (PAHs) در گرد و غبار خیابان، شهر اهواز: با نگرشی بر زمین شیمی پزشکی

علیرضا زراسوندی<sup>۱\*</sup>، فاطمه راست منش<sup>۱</sup>، فرشته بنی تمیم<sup>۱</sup>، بابک مختاری<sup>۲</sup>، مدینه ساعد<sup>۱</sup>

(۱) گروه زمین شناسی، دانشکده علوم زمین، دانشگاه شهید چمران، اهواز، ایران

(۲) گروه شیمی، دانشکده علوم، دانشگاه شهید چمران، اهواز، ایران

تاریخ پذیرش: ۹۵/۸/۲۹

تاریخ دریافت: ۹۴/۲/۲۲

### چکیده

**مقدمه:** به طور عمده گرد و غبارهای خیابانی تحت تأثیر آلودگی هیدروکربن های آروماتیک چند حلقه ای (PAHs) قرار دارد. ترکیبات آلی هستند که فقط از کربن و هیدروژن ساخته شده‌اند و دارای دو یا بیش از دو حلقه بینزنی می‌باشند. حضور این ترکیبات در گرد و غبار خیابان، از منابع مختلف موجود در شهر، مانند وسایل نقلیه و صنایع منشاء می‌گیرد و ممکن است که سلامت انسان و محیط زیست را تحت تأثیر قرار دهد. هدف از انجام این ترکیبات بر سلامت انسان ها و محیط زیست می‌باشد.

**مواد و روش ها:** به منظور ارزیابی تعیین منشاء احتمالی هیدروکربن های آروماتیک چند حلقه ای در گرد و غبار خیابان شهر اهواز، تعداد ۱۰ نمونه گرد و غبار از سطح شهر اهواز در فروردین ماه ۱۳۹۲ جمع آوری شد. نمونه‌ها پس از آماده‌سازی توسط دستگاه GC/MS آنالیز شدند. جهت تعیین منشاء احتمالی هیدروکربن های آروماتیک چند حلقه ای از نسبت های زمین شیمیایی آروماتیکی و آنالیزهای آماری تحلیل خوشای (CA) و تحلیل اجزای اصلی (PCA) استفاده گردید.

**یافته های پژوهش:** از ۱۶ ترکیب PAH مهم تعیین شده توسط EPA، ۱۳ نوع ترکیب PAH در نمونه های گرد و غبار شناسایی شد. دامنه مجموع غلظت ترکیبات PAH شناسایی شده بین ۰/۵۶ تا ۳۲/۱۱ مکانیزم<sup>۱</sup> و مقدار  $\Sigma$  COMB/ $\Sigma$  PAH بین ۰/۵۳ تا ۰/۷۱ با میانگین ۰/۶۶ Ppb بود. نسبت Ant/(Ant+Phe) بین ۰/۱۰ تا ۰/۳۷ با Ppb و BaA/(BaA+Chr) بین ۰/۰۷ تا ۰/۰۷ و Ppb با IND/(IND+BGP) نیز بین ۰/۲۸ تا ۰/۳۷ Ppb مشخص شد در همه ایستگاه های نمونه برداری، احتمال سلطان زایی به وسیله فاکتور معادل سمیت (TEF) برای همه ترکیبات PAH محاسبه شد که مقدار بدست آمده، کمتر از مقدار استانداردی بود که توسط کشور کانادا برای حفاظت سلامت انسان معین شده است (Ppb ۰/۰۰ BaPeq).

**بحث و نتیجه گیری:** در این مطالعه، نسبت های مولکولی و نتایج آنالیز آماری نشان دهنده منبع پیروزیک برای PAH های ورودی به گرد و غبار خیابان و اختراق سوخت فسیلی بودند. بنزو پرین به عنوان سلطان زا ترین ترکیب PAH، در همه ایستگاه های نمونه- برداری با غلظت های مختلف تشخیص داده شد. نتایج این مطالعه نشان داد که شهر اهواز به دلیل قرارگیری صنایع بالادستی و پایین دستی نفت، گاز و پتروشیمی شدیداً تحت تأثیر این فرایندها به لحاظ نوع و ترکیب PAH ها می‌باشد.

**واژه های کلیدی:** گرد و غبار، شهر اهواز، هیدروکربن های آروماتیک چند حلقه ای (PAHs)، سلطان

\* نویسنده مسئول: گروه زمین شناسی، دانشکده علوم زمین، دانشگاه شهید چمران، اهواز، ایران

E-mail: Zaravandi\_a@scu.ac.ir

## مقدمه

و بعضی از محصولات شان سرطان زا، جهش زا، آرژی زا و تهدیدی برای سلامت بشر شناخته شده‌اند و به همین دلیل این ترکیبات در آژانس حفاظت محیط زیست ایالت متحده در اولویت لیست نظارت آلاینده‌ها قرار گرفته‌اند (۱۶). بعضی از ترکیبات PAHs همانند بنزوآلفاپیرن و ایندنو<sub>۱،۲،۳</sub> سی دی پیرن، سرطان زا و جهش زا هستند (۸). به دلیل ترافیک بالا و وجود صنایع نفت و گاز، شهر اهواز مستعد این آلودگی‌ها است. تاکنون مطالعات چندانی که انواع PAHs را در گرد و غبار خیابانی شهر اهواز مشخص کند، انجام نشده است. مطالعات مشابهی در مناطق دیگری مانند تهران (۲)، کوماسی (۱۲)، شانگهای (۲۰) و پکن (۱۸) انجام شده است. برای مدیریت بهتر شهری، ارزیابی نوع و غلظت ترکیبات موجود در گرد و غبار و شناسایی منابع احتمالی آن‌ها، کنترل آلودگی و همچنین برای جلوگیری از افزایش بیماری‌های ناشی از انتشار PAHs از منابع مختلف، انجام چنین مطالعه‌ای لازم است. هدف از انجام این تحقیق، ارزیابی سطح آلودگی گرد و غبار خیابانی در سطح شهر اهواز و تأثیر آن بر سلامت مردم و محیط زیست می‌باشد.

شهرستان اهواز، مرکز استان خوزستان از نظر جغرافیایی در ۳۱ درجه و ۲۰ دقیقه عرض شمالی و ۴۸ درجه و ۴۰ دقیقه طول شرقی و در بخش جلگه‌ای به ارتفاع ۱۸ متر از سطح دریا واقع شده است. مساحت این شهرستان، ۲۰۴۷۷ هکتار است که ۶۹۲۳ هکتار از آن در بافت شهری قرار دارد. جمعیت اهواز بالغ بر ۱۱۱۲۰۲۱ نفر می‌باشد. میانگین دمای اهواز در سال ۱۳۹۲، ۲۵/۷ درجه سانتی‌گراد و رطوبت نسبی آن ۴۸ درصد برآورد شده است. مجموع بارندگی در سال ۱۳۹۲، ۱۳۹۴ میلی‌متر گزارش گردید (۹). آلودگی‌ها در شهر اهواز، ناشی از فعالیت‌های صنعتی، حمل و نقل، خانگی و کشاورزی می‌باشد. در بخش صنعت، واحدهای بزرگی همچون صنایع فولاد، گروه ملی فولاد، پالایشگاه، تاسیسات شرکت نفت، فعالیت‌های حفاری و استخراج نفت و برخی کارخانجات آسفالت و سیمان از منابع مهم آلودگی محسوب می‌شوند. به طور کلی مهم‌ترین عامل آلودگی‌ها در شهر اهواز به

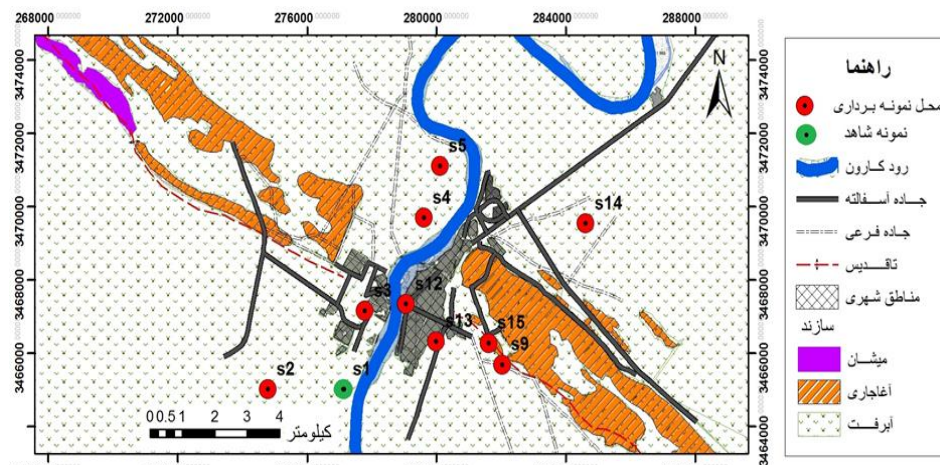
تعداد و تنوع آلاینده‌ها در محیط زیست شهری به طور چشمگیری در سال‌های اخیر افزایش یافته است (۱). رشد جمعیت، فعالیت‌های صنعتی و وسائل نقلیه در شهرهای بزرگ مهم‌ترین عامل آلودگی در محیط زیست شهری است. خاک‌های سطحی، پیاده روها و گرد و غبار خیابان‌ها، شاخص‌های زیست محیطی آلودگی شهری هستند (۲). مطالعات مختلف نشان داده‌اند که افزایش بار گرد و غبار شهری به تنهایی یا به صورت ترکیب با دیگر آلاینده‌ها می‌تواند برای سلامت انسان زیان آور باشد (۱، ۳). ترکیب اصلی گرد و غبار خیابان‌های شهری در نتیجه چند عامل سطحی پس زمینه محلی، خاک منطقه، مواد ساختمان سازی شهری، موادی که به صورت محلی و منطقه‌ای منتشر می‌شوند و ترکیباتی که به وسیله اتمسفر در دراز مدت انتقال پیدا می‌کنند، تشکیل می‌شوند (۴). آنالیز ترکیبات آلی جذب شده بر روی گرد و غبار ته-نشین شده، ابزار قابل اطمینانی برای تعیین آلودگی است (۵). بررسی هیدروکربن‌های آروماتیک چند حلقه‌ای (PAHs)، می‌تواند کارگشا باشد. هیدروکربن‌های آروماتیک چند حلقه‌ای، ترکیبات آلی هستند که فقط از کربن و هیدروژن ساخته شده‌اند و دارای دو یا بیش از دو حلقه‌ی بنزنی می‌باشند. این ترکیبات مجموعه‌ای از گسترده‌ترین آلاینده‌های زیست محیطی، دارای منبع طبیعی و انسان زاد هستند (۶). از منابع طبیعی این هیدروکربن‌ها، می‌توان به آتش سوزی جنگل و آتش‌شسان و از منابع انسان‌زاد نیز می‌توان به دو گروه پیروزیک و پتروزیک اشاره نمود (۷). PAHs تولید شده از طریق احتراق سوخت‌های فسیلی (زغال سنگ و نفت) و زیست توده پیروزیک می‌باشند. این منابع شامل وسائل نقلیه، نیروگاه برق، صنایع احتراق زغال سنگ و نفت (مانند ذوب فولاد) و زباله سوزها هستند. تبخیر و انتشار سوخت‌های فسیلی احتراق نیافته (نفت سفید، بنزین، سوخت دیزل، روغن موتور و آسفالت) منبع پتروزیک PAHs هاست (۸). از بین آلاینده‌های جوی، PAHs می‌باشد که مهم‌ترین آلاینده‌های جوی سمی در محیط شهری شناسایی هستند. چندین ترکیب PAHs

کارکد استیل ضد زنگ، از ۱۰ ایستگاه از پیاده روها و کناره های جاده های سطح شهر اهواز، نمونه برداری انجام شد. نمونه برداری از مناطق مختلف شهر مانند مناطق با ترافیک بالا (کیانپارس، نادری)، مناطق صنعتی (فولاد، کربن بلاک، لوله سازی)، مسکونی، بیمارستانی، ایستگاه قطار و پارک بازی کودکان انجام شد (شکل و جدول شماره ۱). حدود ۵۰۰ گرم از نمونه گرد و غبار جمع آوری و پس از پوشاندن با فوبیل های آلمونیومی و تعییه در ظروف شیشه ای، شماره گذاری و تا زمان انجام آزمایش، در دمای یخچال نگهداری شدند.

ترتیب مربوط به خروجی آلاینده های صنایع مستقر در محدوده شهری و منابع متخرکی چون خودروها و وسایل نقلیه می باشد (۱۰). علاوه بر موارد ذکر شده، پدیده گرد و غبار و ریز گردها از دیگر آلاینده های هوا در شهر اهواز به شمار می روند که علت اصلی آن، هم جواری شهر با بیابان های غرب، وجود منابع و کانون های گرد و غبار در کشورهای همسایه مانند عراق و عربستان، دلالت بشر در طبیعت و مدیریت نامناسب دانست (۱۱).

## مواد و روش ها

در فروردین سال ۱۳۹۲ به منظور بررسی PAHs موجود در گرد و غبار خیابان، با استفاده از برس و



شکل شماره ۱. نقشه زمین شناسی، شهری و موقعیت نقاط نمونه برداری در شهر اهواز

جدول شماره ۱. نوع منطقه، مختصات و مکان نمونه های برداشت شده در شهر اهواز

| ایستگاه         | مکان نمونه برداری         | نوع منطقه        | طول جغرافیایی | عرض جغرافیایی |
|-----------------|---------------------------|------------------|---------------|---------------|
| S <sub>1</sub>  | دانشگاه شهید چمران اهواز  | نمونه شاهد       | ۲۷۷۱۴۳        | ۳۴۶۵۰۲۱       |
| S <sub>2</sub>  | گلستان                    | منطقه مسکونی     | ۲۷۷۴۹۱        | ۳۴۶۵۰۲۱       |
| S <sub>3</sub>  | امانیه                    | ایستگاه قطار     | ۲۷۷۷۹۵        | ۳۴۶۷۱۵۹       |
| S <sub>4</sub>  | کیانپارس                  | منطقه پر ترافیک  | ۲۷۹۶۱۰        | ۳۴۶۹۷۰۵       |
| S <sub>5</sub>  | کیانپارس(بیمارستان آریا)  | منطقه بیمارستانی | ۲۸۰۱۱۴        | ۳۴۷۱۱۱۴       |
| S <sub>9</sub>  | کارخانه کربن بلاک         | منطقه صنعتی      | ۲۸۲۰۲۲        | ۳۴۶۵۶۹۴       |
| S <sub>12</sub> | نادری                     | منطقه پر ترافیک  | ۲۷۹۰۶۱        | ۳۴۶۷۳۴۷       |
| S <sub>13</sub> | پارک پاداد شهر            | پارک             | ۲۷۹۹۹۵        | ۳۴۶۶۳۳۱       |
| S <sub>14</sub> | کارخانه صنایع فولاد اهواز | منطقه صنعتی      | ۲۸۴۶۱۶        | ۳۴۶۹۵۵۲       |
| S <sub>15</sub> | شرکت لوله سازی اهواز      | منطقه شیمیایی    | ۲۸۱۶۱۴        | ۳۴۶۶۲۸۰       |

سوکسله که برای استخراج مواد آلی از آن استفاده می شود، قرار داده شد (۱۲). در دستگاه سوکسله ۲۰۰ میلی لیتر دی کلرومتان، ۲ گرم مس فعل شده به ارلن اضافه شد. مس فعل شده برای گوگرد زدایی از نمونه

آمده سازی نمونه ها نمونه ها در آزمایشگاه توسط دمای اتاق کاملاً خشک و سپس به وسیله مش ، ۲۰۰ الک شدن. معادل ۱۰ گرم وزن خشک از هر نمونه جدا و در دستگاه

است (۲). همچنین، اگر نسبت LMW/HMW بیش از یک باشد مبین منبع پتروژئنیک و در صورتی که مقدار LMW/HMW کمتر از یک باشد نشان دهنده ی منبع پپروژئنیک است (۱۴). PAH های تولید شده از منابع احتراق را می توان بوسیله مجموع ترکیبات FL, Pyr BaA,  $\Sigma$ COMB که شامل IND, CHR, BkF, BaP, BGP ویژه احتراق ( $\Sigma$ COMB) که شامل IND, CHR, BkF, BaP, BGP هستند، نشان داد. نسبت  $\Sigma$ COMB/ $\Sigma$ PAHs برای شناسایی PAH با منشاء احتراق استفاده شد.

### آنالیز آماری

در این مطالعه از آنالیز مولفه اصلی(PCA) استفاده گردید. همچنین از آنالیز خوش ای (CA) برای صحت سنجی منابع شناسایی شده استفاده شد که در نهایت با نتایج PCA مقایسه گردید. آنالیزهای آماری با استفاده از نرم افزار 19 SPSS انجام گرفت. برای بررسی نرمال بودن داده ها از آزمون کلموگروف-اسمیرنوف (K-S) استفاده شد. معمولاً چنانچه سطح معنی داری در این آزمون بیش ۰/۰۵ باشد، می توان داده ها را با اطمینان بالایی نرمال فرض کرد. در این مطالعه با انجام آزمون نرمال بودن، توزیع همه می ترکیبات PAH نرمال بوده است.

### یافته های پژوهش

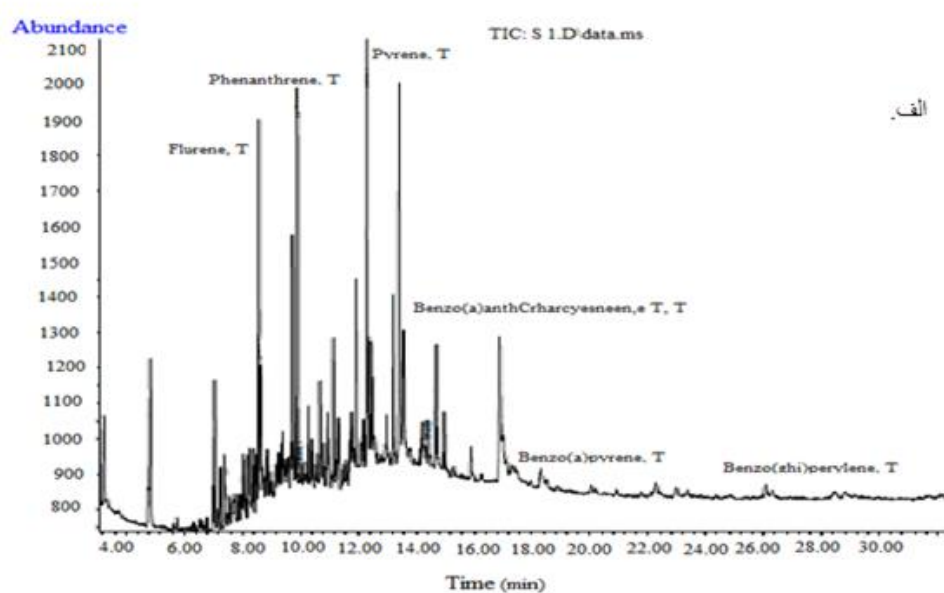
از ۱۶ ترکیب PAH که از سوی آژانس بینالملی حفاظت محیط زیست (EPA) جز ترکیبات خطرناک سلطان زا معرفی شده اند (۱۶)، ۱۳ ترکیب در نمونه های گرد و غبار خیابان اهواز تشخیص داده شد. در جدول شماره ۲ این ۱۶ ترکیب مهم PAH و ترکیبات شناسایی شده در نمونه های گرد و غبار و برخی از خواص آنها آورده شده است. ترکیبات شناسایی شده در گرد و غبار خیابان شهر اهواز با علامت ستاره (\*) مشخص شده اند. شکل شماره ۲ نیز نمونه ای از کروماتوگرام های بدست آمده را برای بعضی از نمونه های گرد و غبار خیابان در شهر اهواز، نشان می دهد.

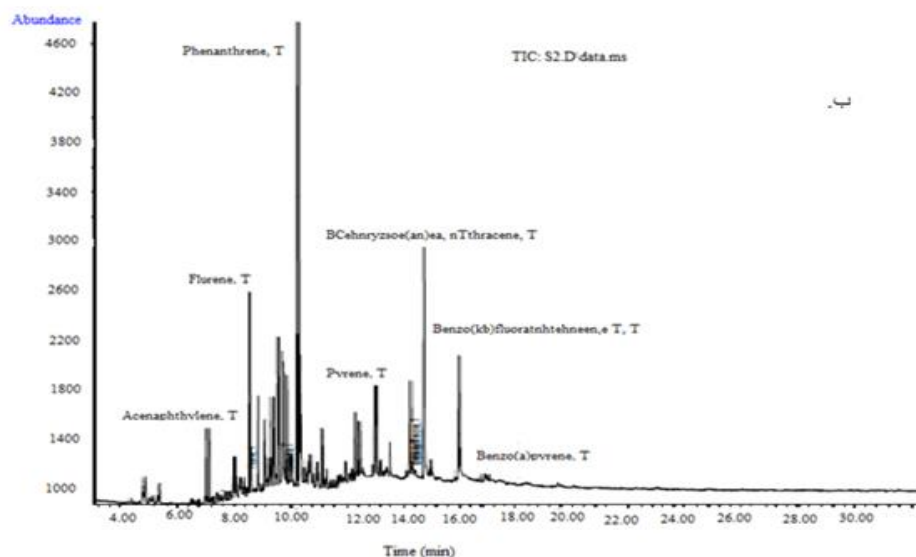
ها استفاده می شود. نمونه ها حدود ۶ تا ۹ ساعت در دستگاه سوکسله با درجه حرارت ۵۳ درجه سانتیگراد قرار داده شد. بعد از گذشت مدت زمان تعیین شده (۶ تا ۹ ساعت)، عصاره های ایجاد شده توسط تبخیر کننده دوار (دستگاه روتاری) تغییض شدند. نمونه های تغییض شده به ستون سیلیکاژل که برای جداسازی انواع مواد آلی استفاده می شود، اضافه شدند. در مرحله اول، ۱۵ میلی لیتر n هگزان به ستون اضافه شد. در این مرحله بعد از اضافه کردن n هگزان، هیدروکربن های آیفاتیک جدا می شوند. بخش دوم حاوی PAHs است که توسط ۷۰ میلی لیتر مخلوطی از دی کلرومتان و n هگزان (40:60, v/v) از ترکیب جدا شدند. در ادامه از دستگاه تبخیر کننده دوار و گاز بی اثر نیتروژن برای کاهش حجم نمونه ها تا ۱ میلی لیتر استفاده شد (۱). تمامی نمونه های استخراج شده به کمک دستگاه کروماتوگرافی گازی- طیف سنج جرمی (GC-MS) در آزمایشگاه جامع تحقیقات دانشگاه علوم پزشکی جندی شاپور اهواز آنالیز شدند.

برای شناسایی منابع PAHs در نمونه های گرد و غبار خیابان از نسبت های مولکولی Ant/(Ant+Phe) ، BaA/(BaA+Chr) شد. در این مطالعه نیز برای تشخیص منابع پپروژئنیک و پتروژئنیک PAH های گرد و غبار خیابانی شهر اهواز استفاده شد. نسبت Ant/(Ant + Phe) اگر کمتر از ۱/۰ باشد نشان دهنده ی منابع نفتی است در حالی که این نسبت بیش از ۱/۰ بر منابع احتراق سوخت های فسیلی دلالت می کند. BaA/(BaA + Chr) کمتر از ۱/۰ منابع نفتی و پپروژئنیک را نشان می دهد. وقتی که BaA/(BaA + Chr) بین ۰/۲ تا ۰/۳۵ باشد، منابع (IND)/(IND+BGP) بین ۰/۲ تا ۰/۵ باشد، منابع احتراق نفت که شامل سوخت های فسیلی مایع، وسایل نقلیه و احتراق نفت خام است، را نشان می دهد (۱۳). از سوی دیگر وقتی که این دو نسبت بیش از ۰/۵ باشد مشخص کننده احتراق زغال سنگ و زیست توده

جدول شماره ۲. برخی از خواص ترکیبات PAH شناسایی شده در گرد و غبار خیابان (۶)

| نام ترکیب                  | علامت اختصاری | فرمول شیمیایی                   | وزن مولکولی(gr/mol) | تعداد حلقه های بنزنی |
|----------------------------|---------------|---------------------------------|---------------------|----------------------|
| نفتالن                     | NA            | C <sub>10</sub> H <sub>8</sub>  | ۱۲۸                 | ۲                    |
| اسنفتیلن*                  | ACY           | C <sub>12</sub> H <sub>8</sub>  | ۱۵۲                 | ۳                    |
| اسنتفن                     | ACE           | C <sub>12</sub> H <sub>10</sub> | ۱۵۴                 | ۳                    |
| فلورن*                     | FLU           | C <sub>13</sub> H <sub>10</sub> | ۱۶۶                 | ۳                    |
| فناترن*                    | PHE           | C <sub>14</sub> H <sub>10</sub> | ۱۷۸                 | ۳                    |
| آنتراسن*                   | ANT           | C <sub>14</sub> H <sub>10</sub> | ۱۷۸                 | ۳                    |
| فلورانتن                   | FLT           | C <sub>16</sub> H <sub>10</sub> | ۲۰۲                 | ۴                    |
| پیرن*                      | PYR           | C <sub>16</sub> H <sub>10</sub> | ۲۰۲                 | ۴                    |
| بنزو آلفا آنتراسن*         | BaA           | C <sub>18</sub> H <sub>12</sub> | ۲۲۸                 | ۴                    |
| کراپن*                     | CRY           | C <sub>18</sub> H <sub>12</sub> | ۲۲۸                 | ۴                    |
| بنزو بتا فلورانتن*         | BbF           | C <sub>20</sub> H <sub>12</sub> | ۲۵۲                 | ۵                    |
| بنزو آلفا پیرن*            | BaP           | C <sub>20</sub> H <sub>12</sub> | ۲۵۲                 | ۵                    |
| دی بنزو آج آنتراسن*        | DBA           | C <sub>22</sub> H <sub>14</sub> | ۲۷۸                 | ۵                    |
| بنزو جی اچ آی پرین*        | BGP           | C <sub>22</sub> H <sub>12</sub> | ۲۷۶                 | ۶                    |
| ایندنو ۱، ۳، ۶ سی دی پیرن* | IND           | C <sub>22</sub> H <sub>12</sub> | ۲۷۶                 | ۶                    |
| بنزو کا فلورانتن*          | BkF           | C <sub>20</sub> H <sub>12</sub> | ۲۵۲                 | ۵                    |





شکل شماره ۲. نمونه ای از کروماتوگرام های ترکیبات PAH مربوط به ۲ نمونه مختلف گرد و غبار خیابان شهر اهواز

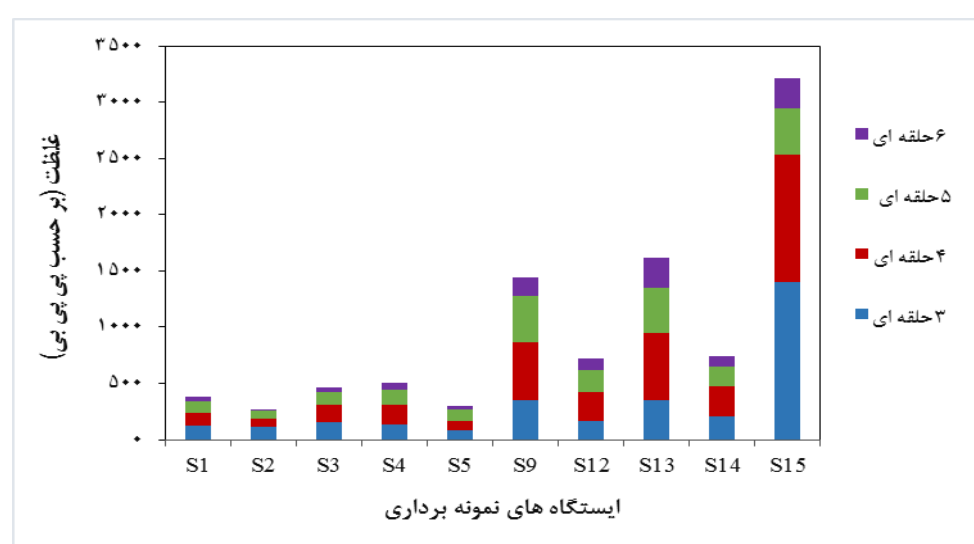
مجموع ترکیبات PAH با وزن مولکولی پایین (LMW) و PAH های با وزن مولکولی بالا (HMW) نیز در این جدول نمایش داده شده است. PAH های با وزن مولکولی پایین، محدوده ای از ۷۸/۷۷ تا ۱۴۰/۳/۸۳ Ppb با میانگین ۲۸۳/۳۰ Ppb و PAH های با وزن مولکولی بالا، محدوده ای از ۱۶۲/۰۲ تا ۱۸۰/۷/۷۵ Ppb با میانگین ۶۵۸/۰۱ Ppb داشتند (جدول شماره ۳). همان طور که در شکل و جدول شماره ۳ دیده می شود، ترکیبات غالب PAH در همه نمونه های گرد و غبار، PAH های با وزن مولکولی بالا هستند. با توجه به جدول شماره ۳ در همه ایستگاه ها مقدار LMW/HMW کمتر از یک است.

غلظت ترکیبات PAH شناسایی شده در گرد و غبار خیابان شهر اهواز در جدول شماره ۳ آمده است. مجموع غلظت ترکیبات PAH ( $\Sigma$ PAH)، مقدار غلظت ماکزیمم (max)، مینیمم (min) در هر ایستگاه نمونه برداری نیز بدست آمد. غلظت ترکیبات PAH بدست آمده محدوده ای از ۱۳/۴۱ تا ۱۱۱۲/۸۹ Ppb را نشان می دهد. مهم ترین نوع PAH، فناتن، فلورن، بنزو بتا فلورانتن، پیرن و کرایزن می باشد، که بیشترین مقدارشان در ایستگاه S15 با مقدار ۲۵۰۰/۹۳ Ppb از Kmtarin مقدار آنها در ایستگاه S2 با ۱۴۴/۶۸ Ppb می باشد. غلظت مجموع ترکیبات PAH ( $\Sigma$ PAH) از ۳۲۱۱/۵۸ تا ۲۷۱/۵۶ Ppb می باشد. بالاترین غلظت مجموع نیز مربوط به ایستگاه S15 بود. علاوه بر این،

جدول شماره ۳. غلظت بدست آمده برای انواع PAH در گرد و غبار خیابانی شهر اهواز (بر حسب  $\text{Ppb}$ )

| S <sub>15</sub> | S <sub>14</sub> | S <sub>13</sub> | S <sub>12</sub> | S <sub>9</sub> | S <sub>5</sub> | S <sub>4</sub> | S <sub>3</sub> | S <sub>2</sub> | S <sub>1</sub> | ایستگاه<br>نام ترکیب     |
|-----------------|-----------------|-----------------|-----------------|----------------|----------------|----------------|----------------|----------------|----------------|--------------------------|
| ۲۸/۰۶           | ۱۵/۴۱           | ۲۳/۸۹           | ۱۶/۸۵           | ۲۳/۳۷          | ۱۳/۴۱          | ۱۷/۵۹          | ۱۵/۸۱          | ۱۵/۸۵          | ۱۵/۷۲          | ACY                      |
| ۱۳۶/۲۹          | ۲۸/۱۳           | ۴۸/۲۹           | ۲۹/۵۴           | ۴۴/۵۵          | ۲۱/۹۴          | ۲۸/۹۹          | ۲۸/۷۷          | ۲۸/۴۳          | ۳۵/۰۲          | FLU                      |
| ۱۱۱۲/۸۹         | ۱۳۶/۴۷          | ۲۴۲/۵۸          | ۹۲/۴۴           | ۲۴۴/۷۴         | ۲۷/۱۳          | ۶۲/۶۸          | ۹۰/۵۳          | ۴۴/۹۲          | ۵۳/۱۱          | PHE                      |
| ۱۲۶/۵۹          | ۲۲/۴۳           | ۳۷/۲۹           | ۲۵/۸۷           | ۳۴/۰۷          | ۱۶/۲۹          | ۲۴/۴۹          | ۲۳/۴۲          | ۲۰/۴۱          | ۱۸/۵۷          | ANT                      |
| ۸۰/۰۴           | ۱۲۴/۳۵          | ۳۰/۸/۱۰         | ۱۲۳/۲۹          | ۲۶۲/۸۰         | ۳۵/۷۱          | ۸۸/۲۱          | ۷۶/۲۶          | ۳۷/۸۷          | ۶۸/۸۷          | PYR                      |
| ۸۴/۶۷           | ۳۴/۶۵           | ۵۱/۱۵           | ۳۰/۰۷           | ۷۷/۸۸          | ۱۹/۲۱          | ۲۴/۵۷          | ۲۲             | ۲۲/۴۶          | ۲۰/۹۳          | BaA                      |
| ۲۳۷/۱۵          | ۱۰/۸/۷۰         | ۲۳۵/۳۴          | ۱۰/۶/۶۳         | ۱۷۹/۹۹         | ۳۴/۹۹          | ۶۱/۶۸          | ۵۳/۸۳          | ۱۶/۷۳          | ۲۶/۹۲          | CRY                      |
| ۲۰۶/۰۶          | ۶۲/۴۱           | ۱۵۱/۴۸          | ۶۷/۵۵           | ۱۷۸/۱۸         | ۲۸/۸۹          | ۴۲/۴۴          | ۳۶/۰۱          | ۱۶/۷۳          | ۳۰/۰۸          | BbF                      |
| ۶۹/۶۸           | ۴۶/۰۱           | ۶۰/۹۷           | ۴۱/۰۸           | ۸۰/۷۵          | ۳۱/۸۷          | ۳۳/۷۹          | ۳۵/۰۵          | ۲۹/۹۵          | ۳۱/۹۸          | BkF                      |
| ۵۵/۵۷           | ۳۳/۳۵           | ۷۶/۷۷           | ۴۱/۱۳           | ۶۹/۴۴          | ۲۱/۱۷          | ۲۶/۹۲          | ۲۴/۵۵          | ۲۱/۲۸          | ۲۶/۲۴          | BaP                      |
| ۷۹/۷۲           | ۳۵/۴۲           | ۱۰/۹/۸۶         | ۴۱/۰۵           | ۸۱/۷۰          | ۱۵/۰۲          | ۲۸/۴۱          | ۱۷/۷۶          | N.D            | ۱۶/۲۳          | IND                      |
| ۳۲/۴۲           | ۲۴/۳۹           | ۳۴/۵۷           | ۲۳/۹۹           | ۳۲/۸۳          | N.D            | N.D            | N.D            | N.D            | N.D*           | DBA                      |
| ۲۳۳/۹۴          | ۶۵/۶۳           | ۲۳۶/۹۷          | ۷۹/۱۹           | ۱۳۵/۶۳         | ۳۲/۸۶          | ۶۱/۱۶          | ۴۳/۲۲          | ۱۷/۱۰          | ۴۰/۲۷          | BGP                      |
| ۳۲۱/۰۸          | ۷۳۷/۳۵          | ۱۶۱۱/۳          | ۷۱۸/۶۸          | ۱۴۴۵/۹۳        | ۲۹۸/۴۹         | ۵۰۰/۹۳         | ۴۶۷/۲۱         | ۲۷۱/۵۶         | ۳۸۳/۸۹         | $\Sigma\text{PAH}$       |
| ۱۱۱۲/۸۹         | ۱۳۶/۴۷          | ۳۰/۸/۱          | ۱۲۲/۹           | ۲۶۲/۸          | ۳۵/۷۱          | ۸۸/۲۱          | ۹۰/۵۳          | ۴۴/۹۲          | ۶۸/۸۷          | max                      |
| ۲۸/۰۶           | ۱۵/۴۱           | ۲۳/۸۹           | ۱۶/۸۵           | ۲۳/۳۷          | ۱۳/۴۱          | ۱۷/۵۹          | ۱۵/۸۱          | ۱۵/۸۵          | ۱۵/۷۲          | Min                      |
| ۲۴۷/۰۴          | ۵۶/۷۱           | ۱۲۴/۴۰          | ۵۵/۲۸           | ۱۱۱/۲۲         | ۲۴/۸۷          | ۴۱/۷۴          | ۳۸/۹۳          | ۲۴/۶۹          | ۳۱/۹۹          | Mean                     |
| ۱۴۰/۳/۸۳        | ۲۰/۲/۴۴         | ۳۵۲/۰۵          | ۱۶۴/۷           | ۳۴۶/۷۳         | ۷۸/۷۷          | ۱۳۳/۷۵         | ۱۵۸/۵۳         | ۱۰/۹/۶۱        | ۱۲۲/۴۲         | $\Sigma\text{LMW}^{**}$  |
| ۱۸۰/۷/۷۵        | ۵۳۴/۹۱          | ۱۲۶۵/۲۱         | ۵۵۳/۹۸          | ۱۰/۹۹/۲        | ۲۱۹/۷          | ۳۶۷/۲          | ۳۰/۸/۶۸        | ۱۶۲            | ۲۶۱/۴۷         | $\Sigma\text{HMW}^{***}$ |
| ۰/۷۷            | ۰/۳۷            | ۰/۲۷            | ۰/۲۹            | ۰/۳۱           | ۰/۳۵           | ۰/۳۶           | ۰/۵۱           | ۰/۶۷           | ۰/۴۶           | LMW/HMW                  |

\* N. D: Not detected, \*\* LMW: Low Molecular Weight, \*\*\* HMW: High Molecular Weight



شکل شماره ۳. غلظت ترکیبات PAH با تعداد حلقه های مختلف در ایستگاه های نمونه برداری

دنیا نشان می دهد. میانگین غلظت ترکیبات PAH در گرد و غبار اهواز خیلی بالاتر از شهر های دیگر نیست، ولی غلظت ترکیباتی مانند اسنفتین، فلورن، فناتنرن، آنتراسن و پیرن در گرد و غبار خیابانی اهواز بالاتر از شهر های پکن (۱۸)، ژانجیانگ و هیژو (۱۹) در چین است. غلظت همهی ترکیبات PAH آنالیز شده در گرد و غبار اهواز بالاتر از غلظت همان ترکیبات در گرد و غبار تهران است. غلظت ترکیبات بنزو آلفا آنتراسن، کرایزن، بنزو بتا فلورانتن، بنزو آلفا پیرن و دی بنزو آج آنتراسن در شهرهای پکن (۱۸) و ژانجیانگ (۱۹) بالاتر از شهر اهواز می باشد.

غلظت مجموع ترکیبات PAH ( $\Sigma$ PAH) بر اساس سطح آلودگی می توان به چهار دسته اصلی شامل: غیرآلوده ( $Ppb < 200$ )، سطح آلودگی پایین ( $200 \leq Pb < 600$ )، آلوده ( $600 \leq Pb < 1000$ ) و به شدت آلوده ( $Ppb \geq 1000$ ) تقسیم بندی کرد(۱۷). طبق این تقسیم بندی تمام ایستگاه های نمونه برداری شهر اهواز از نظر مجموع ترکیبات PAH سطوح مختلف آلودگی را دارند. ایستگاه های  $S_{15}$  و  $S_{13}$  به شدت آلوده، ایستگاه های  $S_{14}$  و  $S_{12}$  جز مناطق آلوده و بقیه ایستگاه ها سطوح آلودگی پایین را نشان می دهند. (جدول شماره ۴) غلظت میانگین ترکیبات PAH گرد و غبار خیابان شهر اهواز را با گرد و غبار شهر تهران و دیگر شهرهای مهم

جدول شماره ۴. میانگین غلظت ترکیبات PAH در گرد و غبار اهواز و دیگر شهرهای انتخاب شده (بر حسب  $(Ppb)$ )

| نام ترکیب  | منطقه | اهواز <sup>۱</sup> | تهران <sup>۲</sup> | کوماسی <sup>۳</sup> | پکن <sup>۴</sup> | ژانجیانگ <sup>۵</sup> | هیژو <sup>۶</sup> | شانگهای <sup>۷</sup> | غلظت پس زمینه در خاک شهری ایالت متحده امریکا <sup>۸</sup> |
|--|-------|--------------------|--------------------|---------------------|------------------|-----------------------|-------------------|----------------------|---|
| Nap  |       | ۰/۰۰۲              | ۰/۰۰۷              | ۴۱/۷                | ۰/۰۹۴            | ۰/۰۰۶                 | ۰/۰۰۵             | ۰/۰۲۸                |   |
| AcY  |       | ۰/۰۱۸              | ۰/۰۴۸              | ۰/۰۴۱               | ۹۹/۳             | ۰/۰۰۷                 | ۰/۰۰۵             | ND                   | ۰/۰۱۰   |
| Ace  |       | ۰/۰۴۲              | ۰/۰۴۱              | ۰/۰۰۸               | ۱۱۱/۲            | ۰/۰۰۹                 | ۰/۰۰۲             |                      | ۰/۰۱۹   |
| Flu  |       | ۰/۰۴۲              | ۰/۰۰۸              | ۰/۰۰۸               | ۸/۹              | ۰/۰۳۹                 | ۰/۰۰۲             |                      | ۰/۰۱۹   |
| Phe  |       | ۰/۰۲۱              | ۰/۰۷۰              | ۰/۰۰۷               | ۱۲/۹             | ۰/۰۱۰                 | ۰/۰۱۸             |                      | ۰/۰۱۳   |
| Ant  |       | ۰/۰۳۴              | ۰/۰۰۶              | ۰/۰۱۷               | ۵/۴              | ۰/۰۲۶                 | ۰/۰۰۱             |                      | ۰/۰۲۸   |
| Flut   |       | ۰/۰۱۳              | ۰/۰۱۳              | ۱۶/۲                | ۰/۱۵۵            | ۰/۰۶۴                 | ۰/۰۱۸             | ۰/۲۵۹                | ۰/۲-۱۶۶   |
| Pyr  |       | ۰/۰۱۹۳             | ۰/۰۲۰              | ۰/۰۰۹               | ۱۵               | ۰/۰۴۴                 | ۰/۰۱۱             | ۰/۲۲                 | ۰/۱۴۵-۱۴۷   |
| B(a)A  |       | ۰/۰۲۸              | ۰/۰۱۰              | ۱۳/۸                | ۰/۰۴۲            | ۰/۰۱۱                 | ۰/۰۶۵             | ۰/۱۲۴                | ۰/۱۶۹-۵۹  |
| Chr  |       | ۰/۱۰۶              | ۰/۰۲۰              | ۳۳/۶                | ۰/۱۰۵            | ۰/۰۲۹                 | ۰/۰۰۶             | ۰/۱۲۷                | ۰/۲۵۱-۰/۵۴  |
| B(b)F  |       | ۰/۰۸۱              | ۰/۰۰۴              | ۰/۰۰۴               | N.D              | ۰/۱۱۵                 | ۰/۰۲۱             | ۰/۱۷۷                | ۱۵-۶۲   |
| B(k)F  |       | ۰/۰۴۶              | ۰/۰۰۵              | ۴۵/۷                | ۰/۰۳۰            | ۰/۰۰۳                 | ۰/۰۰۲             | ۰/۰۲۲                | ۰/۳-۲۶  |
| B(a)P  |       | ۰/۰۳۹              | ۰/۰۰۶              | ۲۷/۹                | ۰/۰۹۴            | ۰/۰۵۵                 | ۰/۰۰۵             | ۰/۱۸۱                | ۰/۱۶۵-۰/۲۲  |
| DBA  |       | ۰/۰۳۹              | ۰/۰۱۵              | N.D                 | ۰/۰۰۵            | ۰/۰۰۱                 | ۰/۰۰۱             | ۰/۰۵۹                | ۰/۹-۴۷  |
| BGP  |       | ۰/۰۹۴              | ۰/۰۳۰              | ۴۷                  | ۰/۰۳۱            | ۰/۰۶۹                 | ۰/۰۰۷             | ۰/۱۴۴                | (۲)   |
| IND  |       | ۰/۰۴۷              | ۰/۰۲۷              | N.D                 | ۰/۰۰۲            | ۰/۰۵۰                 | ۰/۰۰۷             | ۰/۱۱۸                | (۲۰) <sup>۷</sup> ; (۲۱) <sup>۸</sup>                     |
| (۲۱) <sup>۸</sup> ; (۲۰) <sup>۷</sup> ; (۱۲) <sup>۴</sup> ; (۱۸) <sup>۳</sup> ; (۱۹) <sup>۵۶</sup> ; (۱۲) <sup>۳</sup> ; (۲) |       |                    |                    |                     |                  |                       |                   |                      |   |

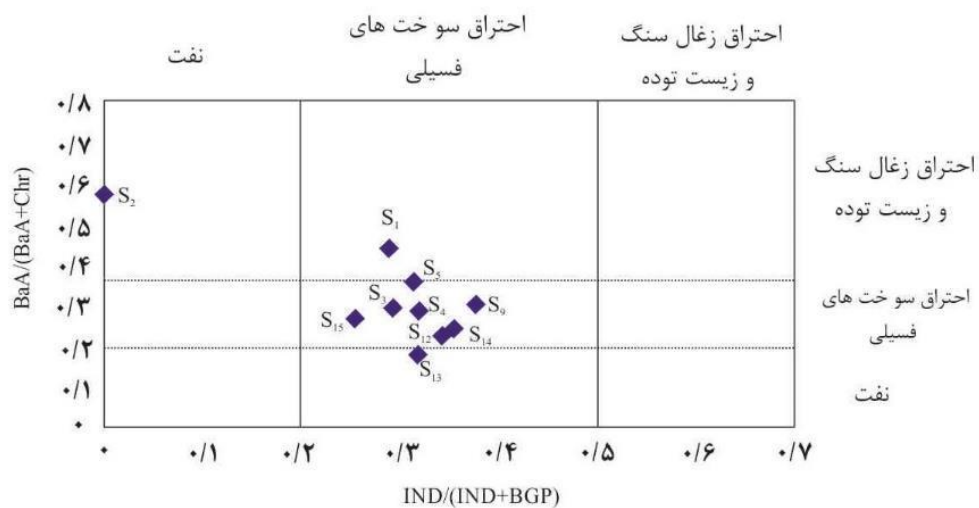
و غبار خیابان شهر اهواز محاسبه شده است. در شکل شماره ۴ نسبت های BaA/(BaA+Chr) به IND/(IND+BGP) برای نمونه های مورد مطالعه آورده شده است. همان طور که در شکل شماره ۴ نشان داده شده است، اکثر نمونه های گرد و غبار خیابان اهواز در محدوده احتراق سوخت های نفتی قرار گرفته اند. نسبت  $\Sigma COMB/\Sigma PAH$  در نمونه های گرد و غبار خیابانی اهواز محدوده ای از  $0/053$  تا  $0/71$  داشتند در حالی که  $0/90$  درصد نمونه این نسبت بیش از  $0/64$  بود.

### آنالیز نسبت های PAH

نسبت های PAH به طور گستردگی برای پیش بینی منابع PAH استفاده شده اند(۱، ۲۶، ۲۵، ۲۴، ۲۳، ۲۲، ۲۷). این مطالعات از نسبت هایی مانند BaA/(BaA+Chr) ، Flu(Flu + Pyr) ، IND/(IND + BGP) ، Chr(BaP/BGP + Ant/(Ant + Phe)) ، Phe/Ant ، تعیین منابع PAH در گرد و غبار استفاده شده است IND/(IND + Ant/(Ant + Phe)) ، BaA/(BaA + Chr) ، BGP در جدول شماره ۵ این نسبت ها برای نمونه های گرد

جدول شماره ۵. نسبت های PAH نمونه های گرد و غبار خیابانی شهر اهواز (بر حسب Pb)

| S <sub>15</sub> | S <sub>14</sub> | S <sub>13</sub> | S <sub>12</sub> | S <sub>9</sub> | S <sub>5</sub> | S <sub>4</sub> | S <sub>3</sub> | S <sub>2</sub> | S <sub>1</sub> | نسبت<br>ایستگاه             |
|-----------------|-----------------|-----------------|-----------------|----------------|----------------|----------------|----------------|----------------|----------------|-----------------------------|
| .۰/۲۶           | .۰/۲۴           | .۰/۱۷           | .۰/۲۱           | .۰/۳۰          | .۰/۳۵          | .۰/۲۸          | .۰/۲۹          | .۰/۵۷          | .۰/۴۳          | BaA/(BaA+Chr)               |
| .۰/۲۵           | .۰/۲۵           | .۰/۳۱           | .۰/۳۴           | .۰/۲۷          | .۰/۳۱          | .۰/۳۱          | .۰/۲۹          | —              | .۰/۲۸          | IND/(IND+BGP)               |
| .۰/۱۰           | .۰/۱۴           | .۰/۱۳           | .۰/۲۱           | .۰/۱۲          | .۰/۳۷          | .۰/۲۸          | .۰/۲۰          | .۰/۳۱          | .۰/۲۵          | Ant/(Ant+ Phe)              |
| .۰/۵۳           | .۰/۶۴           | .۰/۷۰           | .۰/۶۸           | .۰/۶۴          | .۰/۷۱          | .۰/۷۰          | .۰/۶۴          | .۰/۶۴          | .۰/۶۹          | $\Sigma$ COMB/ $\Sigma$ PAH |

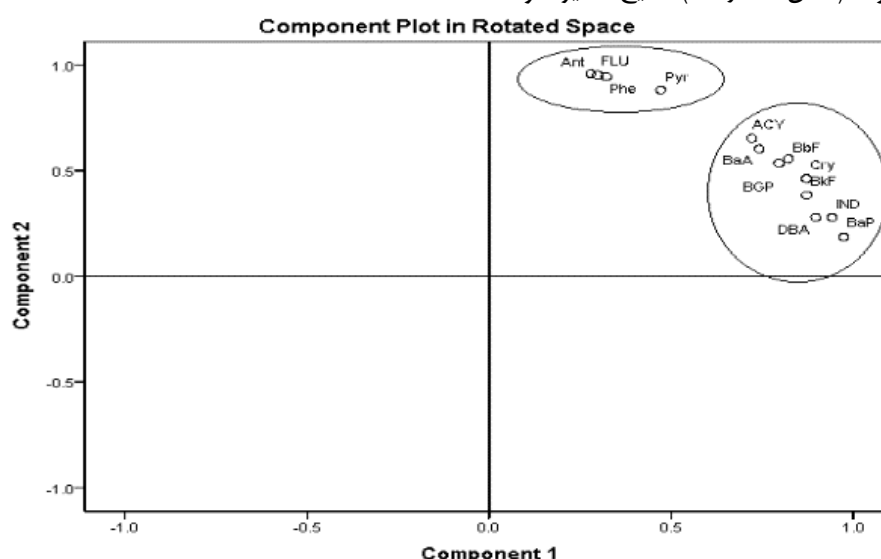


شکل شماره ۴. نمودار نسبت های BaA/(BaA + Chr) به IND/(IND+BGP)

اصلی(PCA) را نشان می دهد. فاکتور اول ۵۴/۰۶ از کل واریانس را در بر گرفته و شامل B(a)A, ACY, B(a)P, B(k)F, IND, Cry, B(b)F, DBA, BGP می باشد. فاکتور دوم ۴۱/۷۰ از کل واریانس مشخص شد که دو عامل ۹۵/۷۷ از کل واریانس کل را شامل می شود. (شکل شماره ۵) نتایج آنالیز مولفه اصلی(PCA)

### آنالیز مولفه اصلی (PCA)

برای ارزیابی یا پی بردن به گروههای منابع ترکیبات PAH از میان منابع گوناگون می توان از آنالیز مولفه PCA استفاده کرد (۲۸). با انجام PCA مشخص شد که دو عامل ۹۵/۷۷ از کل واریانس کل را شامل می شود. (شکل شماره ۵) نتایج آنالیز مولفه

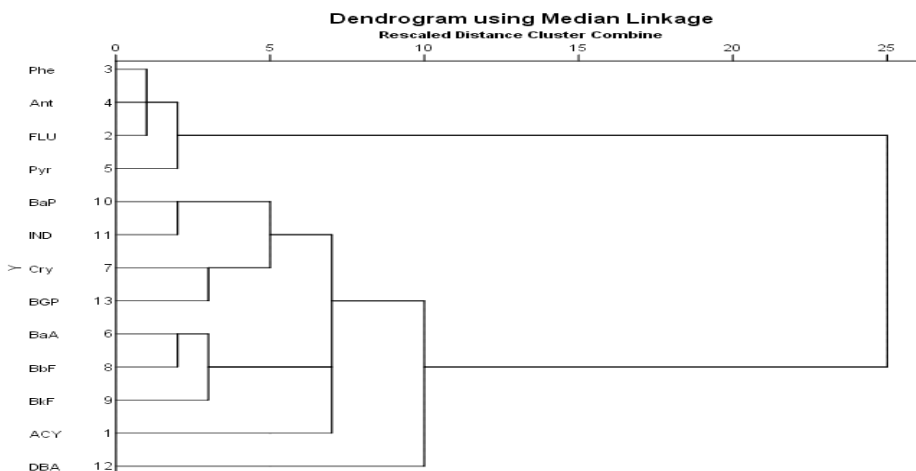


شکل شماره ۵. آنالیز مولفه اصلی(PCA) PAH های موجود در نمونه های گرد و غبار خیابان شهر اهواز

نمونه های گرد و غبار شهر اهواز را نشان می دهد. این شکل نتایج آنالیز تحلیل مولفه اصلی را تایید می کند. ۲ شاخه اصلی در فاصله ۲۵ دیده می شود. شاخه ای (۱) شامل Phe, Ant, FLU, Pyr می باشد. که از میان آنها Phe با FLU و Ant با Pyr رابطه نزدیک تری دارند. شاخه شماره (۲) شامل B(a)A, ACY, BaP, IND, B(k)F, B(b)F, Cry و DBA و BGP است.

### آنالیز خوشه ای (CA)

در این مطالعه همچنین از آنالیز خوشه ای (CA) برای شناسایی منابع انتشاری PAH های یافته شده در نمونه ها استفاده شده است. نتایج CA با نتایج PCA برای بدست آوردن اطمینان بیشتری از منابع شناسایی شده نهایی مقایسه شده است. آنالیز خوشه ای با استفاده از داده های نرمال و نرم افزار SPSS 19 انجام شد. شکل شماره ۶ نتایج آنالیز PAH شناسایی شده در



شکل شماره ۶. آنالیز خوشه ای (CA) PAH های موجود در نمونه های گرد و غبار خیابان اهواز

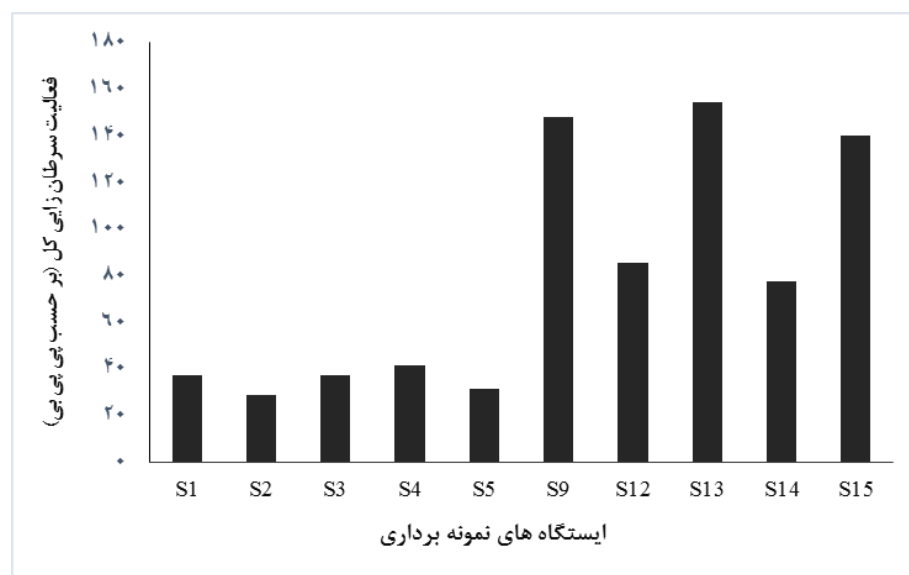
همان طور که در شکل شماره ۷ دیده می شود، S<sub>2</sub> کمترین میزان TCA را دارد. S<sub>9</sub> و S<sub>15</sub> و بیشترین میزان TCA را داشتند. در این ایستگاه ها میزان غلظت بنزو آلفا فلورانتن\*، بنزو آلفا پیرن و دی بنزو آج آتراسن که به عنوان سلطان زا، جهش زا یا هر دو شناخته شده اند بیشتر از ایستگاه های دیگر است. همان طور که در شکل شماره ۷ دیده می شود همه ایستگاه ها کمتر از این مقدار مشخص شده را نشان می دهند. با توجه به جدول شماره ۶ و مقادیر TEF دیده می شود که ترکیبات PAH با تعداد حلقه های ۴، ۵ و ۶ که در حقیقت ترکیبات با وزن مولکولی بالا هستند، بیشترین میزان TEF را دارند. شکل شماره ۸ نیم رخ عرضی از مجموع PAH های سلطان زا و غیر سلطان زا را در ایستگاه های نمونه برداری نشان می دهد. در تمامی ایستگاه ها PAH های سلطان زا برابر یا کمتر از PAH های غیر سلطان زا هستند.

### زمین شیمی پزشکی

در این مطالعه غلظت بنزو آلفا پیرن از محدوده ۲۱/۱۷ تا ۷۶/۷۷ Ppb می باشد. که کمترین میزان آن در منطقه بیمارستانی و بیشترین میزان آن در پارک است. خطر وابسته به ترکیبات PAH سلطان زا در این مطالعه به وسیله فاکتور معادل سمیت (TEF) برای تک تک ترکیبات PAH محاسبه شد. این فاکتور سلطان زایی هر یک از ترکیبات PAH را نسبت به سلطان زایی بنزو آلفا پیرن مقایسه می کند. در جدول شماره ۶ هر یک از ترکیبات PAH و قدرت سلطان زایی آنها بر اساس غلظت معادل بنزو آلفا پیرن (BaPeq) ارزیابی شد. با توجه به جدول سلطان زایی ترکیب اسنتفیلن از همه کمتر و بنزو آلفا پیرن بیشتر از بقیه ترکیبات است. فعالیت سلطان زایی کل (TCA) نیز محاسبه شد که برابر ۹۳/۴۸ Ppb می باشد. فعالیت سلطان زایی کل برای همه ایستگاه های نمونه برداری محاسبه شدند.

همچنین بالاترین غلظت مجموع PAH های سرطان زا و غیر سرطان زا را دارا می باشد.

ایستگاه S<sub>15</sub> نسبت به بقیه ایستگاه ها دارای بالاترین میزان PAH های سرطان زا با غلظت Pb765/27 و

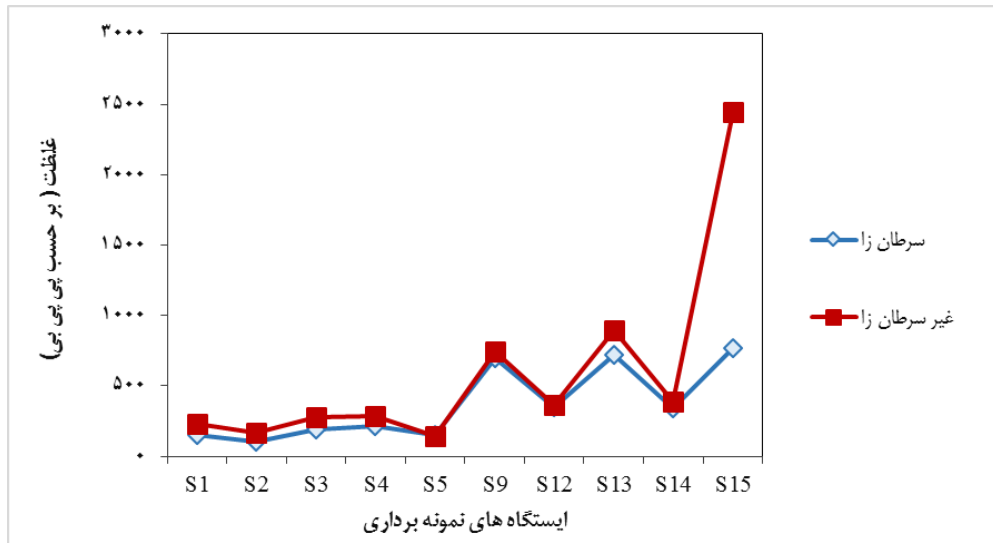


شکل شماره ۷. مقادیر TCA در نمونه های گرد و غبار ایستگاه های نمونه برداری

جدول شماره ۶. مقادیر TEF و BaPeq برای ترکیبات PAH در گرد و غبار خیابان شهر اهواز (بر حسب Pb)

| نام ترکیب | شاخص              |                  |
|-----------|-------------------|------------------|
|           | BaP <sub>eq</sub> | TEF <sup>a</sup> |
| AcY       | .0/1              | .001             |
| Flu       | .0/4              | .001             |
| Phe       | .0/21             | .001             |
| Ant       | .0/34             | .01              |
| Pyr       | .0/19             | .001             |
| B(a)A     | 3/87              | .1               |
| CRY       | 1/06              | .01              |
| B (b)F    | 8/19              | .1               |
| B (k)F    | 4/61              | .1               |
| B (a)P    | 39/84             | 1                |
| IND       | 4/72              | .1               |
| DBA       | 29/64             | 1                |
| BGP       | .0/94             | .001             |

<sup>a</sup>TEF values from (۲۹)



شکل ۸. نیم رخ عرضی از مجموع های PAH سرطان زا و غیر سرطان زا

بودن این نوع PAH ها در محیط شهری ممکن است به دلیل پایداری بیشتر این ترکیبات، غالب بودن منابع سوختنی بیش از منابع پتروژئنیک، تمایل تجمع PAH های با وزن مولکولی بالا در مناطق نزدیک منابع انتشار آنها باشد(۲۰، ۳۱، ۳۲، ۳۳). از منظر شدت آلودگی، میزان بالای آلودگی در ایستگاه های S<sub>15</sub> و S<sub>13</sub> به ترتیب بدلیل فعالیت شرکت لوله سازی و کارخانه کربن بلاک می باشد. همچنین S<sub>14</sub> منطقه ایست که در نزدیکی آن کارخانه صنایع فولاد اهواز قرار دارد و S<sub>12</sub> در مرکز شهر (خیابان نادری) واقع است که جز مناطق پترافیک شهر اهواز محسوب می شود. اگر چه فرایندهای نمونه برداری و آنالیز پذیرفته شدهی جهانی برای گرد و غبار خیابانی وجود ندارد اما غلظت میانگین آلاینده ها در گرد و غبار خیابان را معمولاً با محیط های شهری مختلف مقایسه می کنند(۲). غلظت ترکیبات PAH موجود در گرد و غبار اهواز کمتر از میزان غلظت مشخص شده به عنوان غلظت پس زمینه PAHs در خاک شهری ایالت متحده امریکا می باشد. در انتسفر در دو فاز ذرهای و بخار وجود دارند. ترکیبات سه حلقه ای به صورت فاز گازی، پنج و شش حلقه ای به طور عمده در فاز ذرهای، و ترکیبات با چهار حلقه در دو فاز یافت می شوند. بنابراین لازم است در محیط شهری ترکیبات هم در فاز ذره ای و هم فاز گازی محاسبه شوند. نبود ترکیبات بالا در خاک شهری نشان می دهد که به دلیل فشار بخار بالا این ترکیبات به

## بحث و نتیجه گیری

بررسی آلودگی گرد و غبار خیابان شهر اهواز از نظر ترکیبات PAH نشان داد که از ۱۶ ترکیب مهم تعیین شده توسط EPA، ۱۳ نوع ترکیب PAH در نمونه های مورد مطالعه وجود دارند. میانگین غلظت این ترکیبات به ویژگی های نقاط نمونه برداری مانند ترافیک و نوع صنایع بستگی داشت. ایستگاه S<sub>15</sub> در منطقه ای واقع است که شرکت لوله سازی در نزدیکی آن فعالیت دارد و پمپ بنزین یک منطقه صنعتی می باشد و همچنین تردد وسایل نقلیه زیاد می باشد. مقدار زیاد این نوع ترکیبات در این ایستگاه به دلیل گسیل و نشت در این مکان و توقف وسایل نقلیه است. ایستگاه S<sub>2</sub> نیز که یک منطقه مسکونی است میزان کمتری از این ترکیبات را نشان می دهد. بالاترین غلظت مجموع نیز مربوط به ایستگاه S<sub>15</sub> بود. غلظت کل وقتی بالا باشد به ویژگی های مکان نمونه برداری مانند نوع صنعت و حجم ترافیک بستگی دارد. نبود نفتالن و اسفنتن که به ترتیب ترکیباتی با ۲ و ۳ حلقة بنزن هستند در همه ای نمونه های گرد و غبار به دلیل فشار بخار مربوط به این ترکیبات و در نتیجه تبخیرشان است. اگر درجه دمای محیط در طی نمونه برداری بالا باشد (بین ۴۰-۳۵ درجه سانتی گراد)، ممکن است این نوع ترکیبات در مرحله نمونه برداری تبخیر شوند (۳۰). ترکیبات غالب PAH در همه نمونه های گرد و غبار، PAH های با وزن مولکولی بالا هستند. غالباً

فشار بخار متفاوت PAH های با وزن مولکولی پایین و بالا باشد، که باعث الگوی جذب و دفع متفاوت هر یک از ترکیبات و قرارگیری آنها در در گروه اصلی شده است.

از دیدگاه زمین پزشکی نیز، از بین ترکیبات PAHs، Benzo آلفا پیرن (BaP) سرطان را ترین ترکیب شناخته شده است (۴۰). این ترکیب توسط سازمان جهانی بهداشت به عنوان شاخص خوبی برای سرطان زایی کل PAHs در نظر گرفته شده است (۴۱). علاوه بر این بنزو آلفا پیرن اغلب به عنوان شاخص در معرض قرار گرفتن کل PAHs در محیط زیست استفاده می شود (۴۲). در یک مطالعه‌ای که بر روی حیوانات آزمایشگاهی انجام شده، دیده شده است که حیواناتی که در معرض بنزو آلفا پیرن قرار گرفتند مشکلات تولید مثلی برای آنها بوجود آمده و زایمان سختی داشته‌اند و همچنین مشکلاتی از جمله نارسایی برای جنین اتفاق افتاده است. همچنین باعث سرطان ریه و پوست بر روی حیوانات آزمایشگاهی نیز شده است (۱۲). در این مطالعه غلظت بنزو آلفا پیرن به عنوان عامل اصلی سرطان بررسی شد، بیشترین میزان این ترکیب مربوط به ایستگاه  $S_{13}$ ، که در اطراف آن جاده اصلی قرار داشت و تردد ماشین های سنگین و خودروها نیز زیاد است. همچنین در بین ایستگاه ها فعالیت سرطان زایی کل در  $S_2$  کمترین میزان را داشت.  $S_2$  ناحیه مسکونی می‌باشد که فعالیت صنعتی در آن ناحیه دیده نمی شود و همچنین میزان ترافیک آن هم نسبت به دیگر مناطق کمتر می‌باشد.  $S_9$  و  $S_{13}$  و  $S_{15}$  بیشترین میزان TCA، BaP، BkF را داشتند. در این ایستگاه ها میزان غلظت DBA و DBA که به عنوان سرطان زاء، جهش زا یا هر دو شناخته شده‌اند بیشتر از ایستگاه های دیگر است. در منطقه صنعتی واقع است که در نزدیکی آن کارخانه کربن بلاک فعالیت دارد. در  $S_{13}$  تردد ماشین های سنگین و سبک بالا است. و در نهایت  $S_{15}$  همان‌طور که قبلاً گفته شد منطقه ای است که شرکت لوله سازی و صنایع نفتی در آن واقع است و تردد وسایل نقلیه نیز در این ایستگاه بالاست. سطح خاصی برای سرطان زایی گرد و غبار خیابان شهری در نظر گرفته نشده است، ولی کشور کانادا برای حفظ سلامت انسان

آسانی بخار می‌شوند (۱۲). نسبت های مولکولی محاسبه شده برای تعیین منشاء احتمالی PAH در نمونه های گرد و غبار نشان دادند، PAH ها دارای منشاء پیروژنیک و از احتراق ترکیبات نفتی حاصل شده اند. نتایج آنالیزی آماری نیز منشاء احتراق ترکیبات نفتی و ترافیک شهری را تأیید می‌کند. با انجام آنالیز PCA مشخص شد که دو عامل نقش اصلی را در نمونه های گرد و غبار نشان می‌دهند. در فاکتور اول ترکیبات BbF، BGP و IND معرف منابع بنزین به عنوان یک ردیاب برای منابع ترافیک وسایل نقلیه است (۳۵، ۳۶). BbF و IND همچنین به مقدار زیادی توسط BaA، Chry، BaP، DBA، Ant، BGP منبع وسایل نقلیه با سوخت دیزلی هستند (۳۷). بنابراین می‌توان گفت فاکتور اول بیانگر انتشار PAH حاصل از ترافیک وسایل نقلیه است. در فاکتور دوم ترکیبات Phe، FLU، ACY، Ant، FLU، ACY، Ant عمدها منبع زغال سنگی و انتشار محصولات نفتی از وسایل نقلیه را نشان می‌دهند (۱). بنابراین احتراق سوخت های فسیلی و محصولات نفتی و انتشار از وسایل نقلیه و ترافیک مهمترین منبع PAH در اهواز است. به بیان دیگر PAH ها در اکثر ایستگاه های ناحیه شهری اهواز منبع یکسانی دارند. از سوی دیگر می‌توان نتیجه گرفت که انتشار از وسایل نقلیه و صنایع منبع غالب PAH های موجود در گرد و غبار خیابان در شهر اهواز هستند که برای مدیریت بهتر شهری و کاهش ورود آنها به محیط شهری می‌توان به آن توجه کرد. نتایج آنالیز خوشای (CA) نیز بیان می‌کند که ترکیبات، شاخه‌ی (۱) که از میان آنها Phe با FLU و Pyr با Ant رابطه نزدیک تری دارند و احتمالاً منابع ورودی این نوع ترکیبات PAH به گرد و غبار خیابان و یا عوامل کنترل کننده آنها یکسان است. این نتایج با نتایج بدست آمده از آنالیز مولفه اصلی (PCA) مطابقت دارد و آنها را تأیید می‌کند. نتایج آنالیز PCA و CA نشان می‌دهند که PAH های با وزن مولکولی پایین در گروه اول و PAH های با وزن مولکولی بالا در گروه دوم قرار گرفته‌اند. این نتایج ممکن است به دلیل اختلاف در تعداد حلقه‌ها و وزن مولکولی و در نتیجه اختلاف در

فلورن، فنانترن، آنتراسن، فلورانتن، پیرن و بنزو جی اج آی پریلن (۴۴). در این مطالعه غلظت مجموع PAH های سرطان زا و غیرسرطان زا نیز با هم مقایسه شدند، که در تمامی ایستگاه ها PAH های سرطان زا برابر یا کمتر از PAH های غیر سرطان زا هستند. ایستگاه S<sub>15</sub> نسبت به بقیه ایستگاه ها دارای بالاترین میزان PAH های سرطان زا می باشد. براساس نتایج مطالعه ای کنونی، شناسایی دقیق صنایع ایجاد ترکیبات PAH در سطح شهر و انجام اقداماتی همانند قرار گذاشتن فیلترهای مناسب در دودکش ها یا انتقال کارخانه به خارج از محدوده شهری به منظور کاهش غلظت ترکیبات PAH، برداشت نمونه های بیشتر به منظور پوشش دادن کل سطح شهر و تعیین پراکندگی دقیق ترکیبات PAH در سطح شهر، بررسی نوع و غلظت ترکیبات PAH در فصل زمستان و تعیین رابطه ای بین فراوانی این ترکیبات و دمای محیط شهری، اندازه گیری و بررسی ترکیبات PAH در هوا و تعیین رابطه ای بین میزان ترکیبات جوی و ذرات ته نشین شده در گرد و غبار خیابان، پیشنهاد می شود. همچنین به منظور بررسی میزان تاثیر ترکیبات PAH بر روی انسان، در مناطق با آلودگی زیاد این نوع ترکیبات در بافت های انسانی یا خون آن ها اندازه گیری شود. به خصوص در افرادی که مشکل قلبی عروقی یا سرطانی دارند تا بتوان فهمید که ترکیبات PAH تا چه حد در بروز یا پیشرفت این نوع بیماری ها سهم داشته اند.

و بر اساس PAH های سرطان زا سطح اینمی را برای خاک شهری ۶۰۰.BaPeq Ppb در نظر گرفته است(۳۱). اگر چه ترکیبات با وزن مولکولی پایین فعالیت سرطان زایی کمتری برای بشر دارند، ولی ممکن است این ترکیبات در فاز گازی در جو بیشتر باشند و با دیگر آلاینده ها واکنش نشان دهند و ترکیبات با سمیت بیشتر را تشکیل دهند (۶). همچنین از PAHs با وزن مولکولی پایین تهنا نفتالن به عنوان ماده ای شیمیابی سرطان زا شناخته شده است(۲۸). اسنفتان نیز یکی دیگر از ترکیبات PAHs با وزن مولکولی پایین است که می تواند بر روی سلامت انسان تاثیر بگذارد. اگر چه اثر آن از طریق استنشاق بر روی سلامت شناخته نشده است، اما تماس آن با پوست می تواند باعث بیماری هایی همانند سرخی یا تاول بر روی پوست شود که حتی ممکن است منجر به لایه برداری پوست شود(۱۲). این ترکیب در نمونه های گرد و غبار خیابان اهواز تشخیص داده نشد. آژانس بین المللی تحقیقات سرطان (IARC) نیز در سال ۲۰۱۱ PAHs را به دو گروه تقسیم کرده است. گروه اول دارای شواهد کافی یا محدودی برای ایجاد سرطان دارند که این ترکیبات عبارتند از: نفتالن، بنزو آلفا، آنتراسن، کرایزن، بنزو بتا، فلورانتن، بنزو کا، فلورانتن، بنزو آلفا پیرن، ایندنو ۱، ۲، ۳ سی دی پیرن و دی بنزو آج آنتراسن. گروه دوم شواهدی برای ایجاد سرطان ندارند و این ترکیبات عبارتند از: اسنفتیلن، اسنفتان،

## References

- Long Y, Dai T, Wu Q. Sources and distribution of polycyclic aromatic hydrocarbons in street dust from the chang-Zhu-Tan region hunan and China. Environ Monit Assess 2013; 185:1377-90.
- Saeedi M, Li L, Salmanzadeh M. Heavy metals and polycyclic aromatic hydrocarbons pollution and ecological risk assessment in street dust of Tehran. J Hazard Mater 2012; 227:9-17.
- Krein A, Udelhoven T, Audinot JN, Hissler C, Guignard C, Pfister L, et al. Imaging chemical patches on near surface atmospheric dust particles with NanoSIMS 50 to identify material sources. Water Air Soil Pollut 2008; 8:495-503.
- Irvine KN, Loganathan BG. Localized enrichment of PCB levels in street dust due to redistribution by wind. Water Air Soil Pollut 1997; 105:603-15.
- Cao ZG, Yu G, Chen YSh, Cao Q, Fiedler H, Deng Sh, et al. Particle size a missing factor in risk assessment of human exposure to toxic chemicals in settled indoor dust. Environ Int 2012;49:24-30.
- Kamalhassan S, Khoder MI. Gasparticle concentration distribution and health risk assessment of polycyclic aromatic hydrocarbons at a traffic area of Giza Egypt. Environ Monit Assess 2012;184:3593-612.

- 7.Kim HS, Weber WJ. Optimizing contaminant desorption and bioavailability in dense slurry systems. 2. PAH bioavailability and rates of degradation. *Environ Sci Technol* 2005;39:2274-9.
- 8.Boonyatumonond R, Murakami M, Wattayakorn G, Togo A, Takada H. Sources of polycyclic aromatic hydrocarbons in street dust in a tropical Asian mega city Bangkok Thailand. *Sci Total Environ* 2007; 384:420-32.
9. Jia J, Bi C, Guo X, Wang X, Zhou X, Chen Z. Characteristics, identification, and potential risk of polycyclic aromatic hydrocarbons in road dusts and agricultural soils from industrial sites in Shanghai China. *Environ Sci Pollut Res Int* 2017;24:605-15.
- 10.Mousavi S, Ebadi M. Review air pollution Ahvaz city in 1989-2008. 1<sup>th</sup> National Con Environ protec Plan Islam Azad Uni Hamedan Branch 2013.
- 11.Zaravandi AR, Rastmanesh F, Pourkaseb H, Azarmi Z. [Impacts of flying dust phenomenon on hevy metal concentration in soils and absorption by selected plant in Ahvaz city]. *JAAG* 2012;2:105-16. (Persian).
- 12.Essumang DK, Dodo DK, Obiri S, Oduro AK. Analysis of polycilic aromatic hydrocarbons in street soil dust in Kumasi metropolis of Ghana. *Environ Monit Assess* 2006;121:401-8.
- 13.Yu B, Xie XQ, Ma L, Kan H, Zhou Q. Source, distribution, and health risk assessment of polycyclic aromatic hydrocarbons in urban street dust from Tianjin China. *Environ Sci Pollut Res* 2014;21:2817-25.
- 14.Soclo HH. Biota accumulation of polycyclic aromatic hydrocarbons in benin coastal waters. *Mar Pollut Bull* 2008;28:112-27.
- 15.Magi E. Distribution of polycyclic aromatic hydrocarbons in the sediments of Adriatic Sea. *Environ Pollut* 2002; 119:91-98.
- 16.Rahmanpoor SH, Ghafourian H, Hashtroudi SM, Rabani M, Mehdinia A, Darvish Bastami K, et al. [the study of polycyclic aromatic hydrocarbons contamination in sediments of Hormoz 21straight Persian Gulf]. *JOC* 2012;10:37-44. (Persian)
- 17.Maliszewska-Kordybach B. Polycyclic aromatic hydrocarbons in agricultural soils in Poland: preliminary proposals for criteria to evaluate the level of soil contamination. *Appl Geochem* 1996;11:121-7.
- 18.Wang C, Li Y, Liu J, Xiang L, Shi J, Yang Z. Characteristics of PAHs adsorbed on street dust and the correlation with specific surface area and TOC. *Environ Monit Ass* 2009; 169:661-70.
- 19.Ma J, Zhou YZ. Soil pollution by polycyclic aromatic hydrocarbons a comparison of two Chinese cities. *J Environ Sci* 2011; 23:1-18.
- 20.Liu Y, Chen L, Zhao JF, Wei YP, Pan ZY, Meng XZ, et al. Polycyclic aromatic hydrocarbons in the surface soil of Shanghai China concentrations distribution and sources. *Org Geochem* 2010;41:355-62.
21. Mumtaz MM, George JD, Gold KW, Cibulas W, Derosa CT. ATSDR evaluation of health effects of chemicals. IV Polycyclic aromatic hydrocarbons understanding a complex problem. *Toxicol Ind Health* 1996;12:742-971.
- 22.Yunker MB, Macdonald RW, Vingarzan R, Mitchell RH, Goyette D, Sylvestre S. PAHs in the Fraser river basin a critical appraisal of PAH ratios as indicators of PAH source and composition. *Org Geochem* 2002; 33:489-515.
- 23.Ren Y, Zhang Q, Chen J. Distribution and source of polycyclic aromatic hydrocarbons on dust collected in Shanghai, Peoples Republic of China. *Bull Environ Cont Toxicol* 2006; 76:442-.
- 24.Luo XJ, Chen SJ, Mai BX, Sheng GY, Fu JM, Zeng EY. Distribution source apportionment and transport of PAHs in sediments from the Pearl River Delta and the northern South China Sea. *Arch Environ Cont Toxicol* 2008; 55:11-20.
- 25.Xiang L, Li YX, Yang ZF, Shi NH. Influence of traffic conditions on polycyclic aromatic hydrocarbon abundance in street dust. *J Environ Sci Health* 2010; 45:339-47.
- 26.Kose T, YamamotoT, Anegawa A, Mohri S, Ono Y. Source analysis for polycyclic aromatic hydrocarbon in road dust and urban runoff using marker compounds. *Desalination* 2008;226:151-9.
- 27.Li JH, Dong YH, Cao ZH. Emission factors of PAHs from rice straw bin nine. *China Environ Sci* 2008; 28:23-6.

- 28.Lee BK, Dongtrang TT. Toxicity and source assignment of polycyclic aromatic hydrocarbons in road dust from urban residential and industrial areas in a typical industrial cityin Korea. *J Mater Cyc Waste Manag*2011;13:34-42.
- 29.Nisbet C, Lagoy P. Toxic equivalency factors for polycyclic aromatic hydrocarbons. *Regul Toxicol Pharmacol* 1992; 16:290-300.
- 30.Nettopereira AD, Muniz FC. Identification of polycyclic aromatic hydrocarbons in street dust of niteroi city RJ Brazil. *Bull Environ Cont Toxicol*2002;68:831-8.
- 31.Cachada A, Pato P, Rochasantos T, Ferreira E, Duarte AC. Levels sources and potential human health risks of organic pollutants in urban soils. *Sci Total Environ*2012;430:184-92.
- 32.Morillo E, Romero AS, Maqueda C, Madrid L, Ajmonemarsan F, Grcman H, et al. Soil pollution by PAHs in urban soils a comparison of three European cities. *J Environ Monit* 2007;9:1001-8.
- 33.Chung MK, Hu R, Cheung KC, Wong MH. Pollutants in hongkong soils polycyclic aromatic hydrocarbons. *Chemosphere*2007;67:464-73.
- 34.Guo H, Lee SC, Ho KF, Wang XM, Zou SC. Particle associated polycyclic aromatic hydrocarbons in urban air of Hong Kong. *Atmos Environ* 2003; 37:5307–5317.
- 35.Yuan GL, Wu HZ, Fu Sh, Han P, Li J, Lang XX. Persistent organic pollutants in the topsoil of typical urban renewal area in Beijing China Status sources and potential risk. *J Geochem Exp*2014;138:94-103.
- 36.Harrison RM, Smith DJT, Luhana L. Source apportionment of atmospheric polycyclic aromatic hydrocarbons collected from an urban location in Birmingham UK. *Environ Sci Technol*1996;30:825-32.
- 37.Duval MM, Friedlander SK. Source resolution of polycyclic aromatic hydrocarbons in Los Angeles atmosphere application of a chemical species balance method with first order decay. *USEPA Rep* 1981; 2:161-81.
- 38.Li CK, Kamens RM. The use of polycyclic aromatic hydrocarbons as source signatures in receptormodeling. *Atmos Environ* 1993; 27A:523-32.
- 39.Maselet P, Mouvier G, Nikolaou K. Relative decay index and sources of polycyclic aromatic hydrocarbons. *Atmos Environ* 1986; 20:439-46.
- 40.Wang XL, Tao S, Dawson RW, Xu FL. Characterizing and comparing risks of polycyclic aromatic hydrocarbons in a Tianjin wastewater irrigated area. *Environ Res* 2002; 90:201-6.
41. World Health Organization. Polynuclear aromatic hydrocarbons air quality guidelines for Europe. *WHO Reg Pub European Ser*1987;23:105-17.
- 42.Lin TC, Chang FH, Hsieh JH, Chao HR, Chao MR. Characteristics of polycyclic aromatic hydrocarbons and total suspended particulate in indoor and outdoor atmosphere of a Taiwanese temple. *J Hazard Mater* 2002;95:1-12.
- 43.Park JS, Wade TL, Sweet S. Atmospheric distribution of polycyclic aromatic hydrocarbons and deposition to Galveston Bay Texas USA. *Atmos Environ* 2001;35:3241-9.
44. Pearce N, Blair A, Vineis P, Ahrens W, Andersen A, Anto JM, et al. IARC monographs 40 years of evaluating carcinogenic hazards to humans. *Environ Health Perspect*2015;123:507-14.

## ◆ Investigation Evaluation and Determination of Possible Source of Polycyclic Aromatic Hydrocarbons (PAHs) in the Street Dust of Ahvaz City Medical Chemistry Concerning

Zarasvandi A<sup>1\*</sup>, Rastmanesh F<sup>1</sup>, Banitamim F<sup>1</sup>, Mokhtari B<sup>2</sup>, Saed M<sup>1</sup>

(Received: May 12, 2015)

Accepted: November 19, 2016)

**Abstract**

**Introduction:** Street dust mainly is influenced by pollution Polycyclic aromatic hydrocarbons (PAH). PAHs are organic compounds which are formed from carbon and hydrogen and two or more benzene rings. Presence of these compounds in the dust of the street, from various sources in the city, like traffic and industry and may also affect human health and the environment. The aim of this study was to evaluate the effect of compounds on human health and the environment.

**Materials & methods:** In order to assess and determine the possible origin of polycyclic aromatic hydrocarbons (PAHs) in the street dust of Ahvaz city, 10 samples of dust were collected from the city in March 2014. After preparation, the samples were analyzed by GC / MS. To determine the possible source of polycyclic aromatic hydrocarbons, geochemical aromatic ratios, statistical analysis, cluster analysis (CA), and principal components analysis (PCA) were used.

**Findings:** From 16 PAHs determined by the EPA, 13 PAHs were detected in dust samples. The total concentrations of PAHs

were detected between 271.56 to 3211.58 Ppb. The ΣCOMB / ΣPAH was between 0.53 to 0.71 Ppb with 0.66 Ppb average. Ant / (Ant + Phe) was between 0.10 to 0.37 Ppb and BaA / (BaA + Chr) between 0.17 and 0.57 Ppb and IND / (IND + BGP) between 0.28 and 0.37 Ppb respectively. Probable carcinogenic were calculated by the toxicity equivalent factor (TEF) for PAHs in all sampling stations, it was lower than value of which is determined by Canada to protect human health (600BaPeq Ppb).

**Discussion & Conclusions:** The results indicate pyrogenic source for PAH of street dust and combustion of fossil fuels. B (a) P is most cancer PAH compound, were detected in all sampling stations with different concentrations. Also, the result indicate that Ahvaz city is intensively affected by the oil and gas upstream and down industries and PAHs can correlate with this industries.

**Keywords:** Street dust, Ahvaz city, Polycyclic aromatic hydrocarbons, Carcinogenic

1. Dept of Geology, Faculty of Earth Sciences, Shahid Chamran University, Ahvaz, Iran

2. Dept of Chemistry, Faculty of Sciences, Shahid Chamran University, Ahvaz, Iran

\* Corresponding author Email: Zarasvandi\_a@scu.ac.ir